

ارزیابی خستگی مخلوط‌های آسفالتی بر اساس پارامترهای انرژی

محمود عابدی (دانشجو)

دانشکده‌ی هندسی عمران، دانشگاه علم و صنعت ایران

علیرضا خاوندی (استادیار)

دانشکده‌ی فنی، دانشگاه زنجان

ترک‌های ناشی از خستگی یکی از رایج‌ترین خرابی‌ها در روسازی‌های آسفالتی هستند. پژوهشگران روش‌های مختلفی برای ارزیابی عمر خستگی مخلوط‌های آسفالتی را به کارهای آزمایش کرنش ثابت، کاهش سختی به میزان ۵٪ (معیار قراردادی) به منزلهٔ معیار شکست آسفالت تعریف شده است. در این نوشتار معیارهای مبتنی بر مفهوم انرژی تلف شده شامل «نسبت انرژی»، «نسبت کاهش انرژی» و «نسبت تعییر انرژی تلف شده» با معیار کاهش سختی اولیه به میزان ۵٪ با استفاده از آزمایش تیر خمشی چهار نقطه‌ی و باگذاری نیمهٔ سینوسی مقایسه شده‌اند. نتایج آزمایش‌های انجام شده در این پژوهش نشان می‌دهند که عمر خستگی مبتنی بر معیار «نسبت تعییر انرژی تلف شده» ضمن اینکه بیشترین اختلاف را با عمر خستگی بر اساس معیار کاهش سختی به میزان ۵٪ دارد، انطباق بیشتری نیز با ضابطهٔ شکست تعریف شده برای آن دارد. درحالی‌که عمر خستگی مبتنی بر سایر معیارها با ضابطهٔ شکست تعریف شده برای آن‌ها متناظر نیست، با توجه به این نتایج، در این نوشتار درصد کاهش سختی معادل با نقطه‌ی «شکست واقعی» به منزلهٔ معیار جدید برای تعیین عمر خستگی مخلوط‌های آسفالتی پیشنهاد شده است.

وازگان کلیدی: ترک‌های خستگی، عمر خستگی، تیر خمشی، کاهش سختی، انرژی تلف شده.

ameri@iust.ac.ir
akhavandi@iust.ac.ir

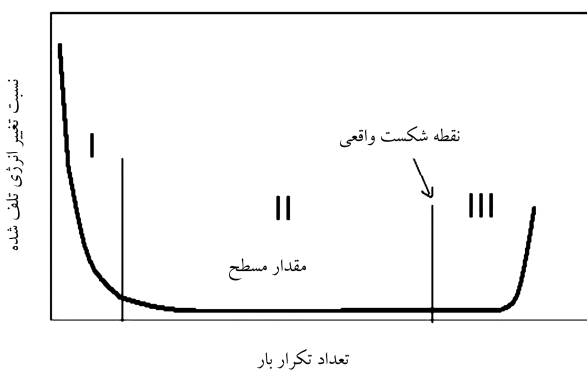
مقدمه

مخلوط‌های آسفالتی را تعیین کنند.^[۵] ماهیت نظری و قابلیت بررسی چگونگی ایجاد خستگی در مخلوط‌های آسفالتی در حین باگذاری، از مزایای روش انرژی تلف شده محسوب می‌شود.^[۶] با گسترش استفاده از این روش، معیارهای مختلفی مانند «نسبت انرژی»^۱، «نسبت کاهش انرژی»^۲ و «نسبت تعییر انرژی تلف شده»^۳ برای تعیین عمر خستگی مخلوط‌های آسفالتی را به کار می‌برند. لیکن ارزیابی عمر خستگی برای یک نمونهٔ آسفالتی معین با استفاده از این معیارها منجر به نتیجه‌ی یکسان بودن نتایج تلف شده در حالت کرنش ثابت نمی‌شود.

در این نوشتار با توجه به ایراد واردہ به معیار کاهش سختی به میزان ۵٪ و نیز یکسان‌بودن نتایج برای معیارهای مختلف که همگی آن‌ها مبتنی بر روش انرژی تلف شده هستند، سعی شده است تا با بررسی معیارهای انرژی تلف شده، معیاری انتخاب و معروفی شود که متناظر با تعریف نقطهٔ شکست (بروز ترک) در لحظه‌ی وقوع ترک باشد، در ضمن با نتایج حاصل از روش انرژی تلف شده برای ارزیابی عمر خستگی مخلوط‌های آسفالتی انطباق داشته باشد. برای این منظور با استفاده از آزمایش تیر خمشی به روش باگذاری چهار نقطه‌ی، عمر خستگی حاصل از بهکارگیری معیارهای روش انرژی تلف شده با عمر خستگی حاصل از معیار کاهش سختی به میزان ۵٪ که معیاری رایج برای انجام این آزمایش به روش کرنش ثابت

می‌باشد، عبارت از تعداد تکرار با متناظر با کاهش سختی اولیه به میزان ۵٪ است که برخی پژوهشگران اراوه کرده‌اند.^[۴] همچنین این معیار به عنوان استاندارد T ۳۲۱-۸۹ و استاندارد TP-۹۴ معتبر شده است.^[۵] این معیار، علی‌رغم سهولت و گستردگی استفاده، معیاری قراردادی است و نتایج مطالعات مختلف نشان داده است که در تعداد تکرار با کاهش سختی اولیه به میزان ۵٪، هیچ‌گونه ترکی در نمونهٔ آسفالتی مشاهده نمی‌شود و این معیار نمی‌تواند نشان‌دهندهٔ وقوع ترک در نمونهٔ آسفالتی شکست آن باشد. بنابراین برخی از پژوهشگران از روش تحلیل براساس انرژی تلف شده استفاده کرده‌اند تا بتوانند عمر خستگی در

است، مقایسه و سپس درصد کاهش سختی متناظر با عمر خستگی به دست آمده از معیارهای انرژی تلف شده تعیین شده است. به این ترتیب امکان تعیین درصد کاهش سختی متناظر با نقطه‌ی شکست در نمونه‌های آزمایشی میسر شده است.



شکل ۱. روند تغییرات نسبت انرژی تلف شده نسبت به تعداد تکرار.^[۱]

و قسمت دوم بیان‌گر آن است که درصد ثابتی از انرژی منجر به ایجاد ترک می‌شود. مقدار DECR در این قسمت را «مقدار مسطح»^۳ می‌نامند. در قسمت سوم، مقدار DECR افزایش می‌یابد. این حالت نشان می‌دهد که نمونه به حالت ناپایدار رسیده است و قادر به تحمل بارگذاری بیشتری نخواهد بود. محل اتصال قسمت دوم به قسمت سوم را نقطه‌ی «شکست واقعی»^۴ نمونه تعریف کرده‌اند. با توجه به این تعریف می‌توان گفت که معیار DECR از نظر تئوری نشان‌دهنده بروز ترک در نمونه‌ی آسفالتی است.

در سال ۲۰۰۴ محققان با درنظرگرفتن رفتار ویسکوالاستیک مخلوط‌های آسفالتی، عمر خستگی آن‌ها را بررسی و تحلیل کرده‌اند. آن‌ها به این نتیجه رسیدند که معیار «نسبت تغییر انرژی تلف شده»^۵ ضمن اینکه مبنای علمی و نظری دارد، عمر خستگی آسفالت را بهتر از معیار کاهش سختی اولیه به میزان ۵۰٪ توصیف می‌کند.^[۱۲]

تجربه‌های آزمایشگاهی

در این پژوهش، نمونه‌هایی لازم برای انجام آزمایش به دو روش تهیه شد: (الف) نمونه‌برداری از محل، (ب) تهیه‌ی نمونه در آزمایشگاه. برای تهیه‌ی نمونه‌های میدانی، قبل از بخش قشر آسفالتی، صفحه‌ی فرزی بر روی روسازی موجود قرار داده شد و پس از تراکم قشر آسفالتی و گذشت ۲۴ ساعت از زمان تراکم، صفحه‌ی فرزی به همراه دال آسفالتی روی آن با برش اطراف صفحه از سطح جدا شد. در آزمایشگاه، از دال آسفالتی با استفاده از دستگاه برش نمونه‌هایی به ابعاد $5 \times 6 \times 38 \text{ mm}^3$ سانتی متر تهیه شد. برای تهیه‌ی نمونه‌های آزمایشگاهی، یک دال آسفالتی به ضخامت ۵ سانتی متر و ابعاد $40 \times 30 \text{ mm}^2$ سانتی متر با استفاده از غلطک مالشی تهیه و سپس با همان ابعاد نمونه‌های میدانی برش داده شدند و از هر دال متراکم شده، ۴ نمونه‌ی آزمایشگاهی تهیه شد.

در نمونه‌های میدانی از قیر میانی $100-85$ پالایشگاه تبریز و در نمونه‌های آزمایشگاهی از دو نوع قیر $70-60$ پالایشگاه تهران و $100-85$ اصفهان استفاده شد. مصالح تمامی نمونه‌ها از جنس آهک دولومیتی بودند که دانه‌بندی آن‌ها در جدول ۱ نشان داده شده است.

درصد قیر بهینه برای طرح مخلوط‌های آسفالتی منطقی بر روش مارشال (ASTM D ۱۵۵۹) بود. نمونه‌های آزمایشگاهی در درصد قیر بهینه و همچنین نیم درصد بیشتر از درصد قیر بهینه تهیه شدند. در جدول ۲ مشخصات نمونه‌های آسفالتی آورده شده است.

معیارهای انرژی تلف شده برای تعیین عمر خستگی

معیارهای مختلفی برای تعیین عمر خستگی با استفاده از روش انرژی تلف شده ارائه شده است. پژوهشگران نشان دادند که بین انرژی تلف شده تجمعی و عمر خستگی رابطه‌ای منطقی وجود دارد. در مطالعات SHRP نیز از انرژی تلف شده تجمعی برای تعیین عمر خستگی مخلوط‌های آسفالتی استفاده شده است.^[۷] با گسترش استفاده از روش انرژی تلف شده برای تعیین عمر خستگی مخلوط‌های آسفالتی معیار برای سنجش عمر خستگی مخلوط‌های آسفالتی ارائه کنند.^[۸] لذا از مفهوم «نسبت انرژی» برای تعریف گسیختگی ناشی از خستگی استفاده کردند. در این روش، «نسبت انرژی» برای کرنش ثابت برابر است با حاصل ضرب انرژی تلف شده در سیکل اول با رگذاری (W_1) در تعداد کل سیکل با رگذاری (N) تقسیم بر انرژی تلف شده در سیکل N آماده رگذاری (W_N) که در رابطه‌ی ۱ ارائه شده است:

$$(1) \quad W_N = \frac{N \cdot W_1}{W_N}$$

و این نتیجه به دست آمد که زمان شروع ترک در نمونه‌ی متناظر با نقطه‌ی تغییر شیب منحنی نسبت انرژی بر حسب تعداد تکرار بار است. ایراد وارد به این روش، احتمال وجود خطأ در تعیین نقطه‌ی تغییر شیب منحنی است که بستگی به دقت پژوهشگر در بررسی و تحلیل نتایج آزمایش دارد.

همچنین با استفاده از مفهوم «نسبت کاهش انرژی»، معیار جدیدی برای تعیین تعداد تکرار بار در زمان شروع ترک ارائه شد که در آن «نسبت کاهش انرژی» در روش کرنش ثابت به صورت رابطه‌ی ۲ یعنی تعداد سیکل با رگذاری N تقسیم بر مدل کشسانی در سیکل N ام تعریف شد.^[۹]

$$(2) \quad R_N = \frac{N}{E_N}$$

که در آن R_N برابر با نسبت کاهش انرژی است. براساس این معیار، تغییر در شیب منحنی «نسبت کاهش انرژی» بر حسب تعداد تکرار بار، معادل با شروع ترک است. این مفهوم به این معنی است که باید تعداد تکرار بار در کاهش سختی به میزان ۵۰٪ (گسیختگی نمونه) بیشتر از تعداد تکرار بار (شروع ترک) باشد. برخی پژوهشگران نشان دادند که عمر خستگی حاصل از مفهوم «نسبت کاهش انرژی» با عمر خستگی حاصل از کاهش سختی به میزان ۵۰٪، از این روند تعیین نمی‌کند.^[۱۰] در این روش نیز احتمال بروز خطأ در تعیین نقطه‌ی تغییر شیب منحنی وجود دارد.

برخی دیگر نیز پارامتری را با عنوان «نسبت تغییر انرژی تلف شده (RDEC)» بر اساس رابطه‌ی ۳ تعریف کردند:^[۱۱]

$$(3) \quad RDEC = [DE_a - DE_b] / (DE_a^*(a - b))$$

در رابطه‌ی ۳ انرژی تلف شده در سیکل a : DE_a انرژی تلف شده در سیکل b است. شکل ۱ روند تغییرات پارامتر DECR را در طول زمان آزمایش نشان می‌دهد. این منحنی شامل سه قسمت است: قسمت اول نشان‌دهنده کاهش نسبت انرژی

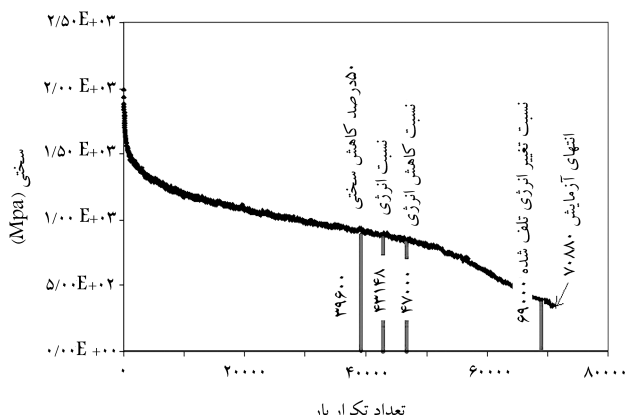
جدول ۱. دانه‌بندی نمونه‌های آزمایش.

دانه‌بندی ۱	دانه‌بندی ۲	دانه‌بندی ۳ (نمونه‌ی میدانی)	اندازه‌ی الک (میلی‌متر)
درصد عبوری			
-	-	۱۰۰	۲۵
۱۰۰	۱۰۰	۹۵	۱۹
۹۸	۹۵	-	۱۲,۵
	-	۶۳	۹,۵۲۵
۵۷	۶۰	۴۳	۴,۷۵
۴۵	۴۳	۳۱	۲,۳۷۵
۱۳	۱۳	۹	۰,۳
۶	۷	۴	۰,۰۷۵

نتایج

نتایج آزمایش‌ها و عمر خستگی نمونه‌های آزمایش شده بر اساس روش‌های مختلف در جدول ۳ نشان داده شده است. در ستون اول، نوع نمونه‌ها، در ستون دوم سختی اولیه‌ی نمونه‌ها و در ستون سوم، عمر خستگی حاصل از معیار کاهش سختی به میزان 50% ارائه شده است. در سایر ستون‌ها، عمر خستگی حاصل از معیارهای انرژی تلف شده آورده شده است. البته برای هر معیار، میزان کاهش سختی متناظر با عمر خستگی حاصل از این معیارها در ستون مجاور عمر خستگی آورده شده است.

در این نوشتار، نحوه تعیین عمر خستگی بر اساس معیارهای مورد بررسی برای نمونه‌ی شماره ۲ در شکل‌های ۲ تا ۵ نشان داده شده‌اند. شکل ۲، منحنی کاهش سختی و عمر خستگی (تعداد تکرار بار) حاصل از روش‌های مورد بررسی را نشان می‌دهد. این منحنی مستقیماً از نتایج آزمایش تیر خمشی به دست آمده است. همان‌گونه که در این شکل ملاحظه می‌شود، عمر خستگی برای نمونه‌ی شماره‌ی ۲ بر مبنای معیار کاهش سختی به میزان 50% ، برابر با ۳۹۶۰ است. شکل ۳، منحنی نسبت تغییر انرژی تلف شده - تعداد تکرار بار را برای نمونه‌ی شماره‌ی ۲ نشان می‌دهد. با استفاده از مقدار انرژی تلف شده حاصل از آزمایش و رابطه‌ی مقدار نسبت انرژی تلف شده محاسبه شده است. این منحنی دقیقاً منطبق با منحنی



شکل ۲. منحنی کاهش سختی بر حسب تعداد تکرار برای نمونه‌ی شماره ۲.

روش آزمایش

برای انجام آزمایش خستگی از دستگاه خمس چهار نقطه‌یی استفاده شد. تمامی آزمایش‌ها مطابق با استاندارد AASHTO TP-8-94 در دمای 20°C درجه با برگذاری نیمه‌سینوسی و در سطح کرنش 10000 میکرون انجام شدند.^[۱۰] برای آزمایش‌های انجام شده، اتمام آزمایش به دلیل توقف دستگاه به صورت خودکار (به دلیل ایجاد ترک در نمونه) یا رسیدن به تعداد یک میلیون مرتبه برگذاری بود که در تمامی آزمایش‌ها قبل از رسیدن به این تعداد برگذاری، دستگاه متوقف شد.

جدول ۳. عمر خستگی بر اساس روش‌های مختلف.

نوع نمونه	سختی اولیه (MPa)	عمر خستگی (کاهش سختی٪/٪ سختی)	روش نسبت کاهش انرژی			روش نسبت کاهش سختی (%)	کاهش سختی (%)	عمر خستگی (%)	کاهش سختی (%)	روش نسبت تغییر انرژی	روش نسبت تغییر انرژی تلف شده
			کاهش سختی (%)	عمر خستگی (%)	کاهش سختی (%)						
۱	۲۲۷۲	۱۲۹۰۰	۳۶۰۰۰	۵۵	۲۱۰۰۰	۵۴	۳۶۰۰۰	۵۹	۵۱۸۰۰	۷۸	۴۳۱۴۸
۲	۱۸۲۸	۳۹۶۰۰	۴۷۰۰۰	۵۲	۴۷۰۰۰	۵۴	۴۷۰۰۰	۷۸	۶۹۰۰۰	۶۵	۵۱۷۸۰
۳	۱۶۶۸	۱۲۵۰۰	۸۴۰۰۰	۶۶	۸۴۰۰۰	۶۵	۸۴۰۰۰	۶۷	۱۰۵۴۰۰	۶۱	۵۷۵۰۰
۴	۱۹۸۹	۱۴۵۸۰	۷۳۴۴۰	۳۵	۷۳۴۴۰	۳۶	۷۳۴۴۰	۶۸	۱۱۴۰۰۰	۵۸	۷۱۰۲۵
۵	۲۵۸۲	۵۱۳۶۷	۵۷۵۰۰	۵۵	۵۷۵۰۰	۵۵	۵۷۵۰۰	۶۱	۶۱۵۰۰	۵۹	۴۳۱۴۸
۶	۱۸۸۵	۹۲۱۰۰	۲۶۸۵۱	۵۴	۲۶۸۵۱	۵۴	۲۶۸۵۱	۵۸	۶۱۰۰۰	۵۸	۳۶۰۱۲
۷	۲۱۴۳	۲۴۲۰۰	۱۴۷۸۰۰	۵۳	۱۴۷۸۰۰	۵۳	۱۴۷۸۰۰	۵۹	۱۷۵۰۰۰	۶۷	۵۸۲۰۰
۸	۲۰۸۹	۹۸۳۷۰	۱۴۸۷۵	۶۶	۱۴۸۷۵	۶۶	۱۴۸۷۵	۶۵	۵۶۰۰۰	۶۵	۶۴۸۶۸
۹	۹۲۸	۴۰۰۵۵	۶۶۱۵۶	۵۶	۶۶۱۵۶	۵۶	۶۶۱۵۶	۶۵	۸۴۶۳۳	۶۵	۳۶۰۰۰
میانگین											

سختی متناظر با عمر خستگی حاصل از این روش‌ها در شکل ۲ نشان داده شده است.

تحلیل نتایج

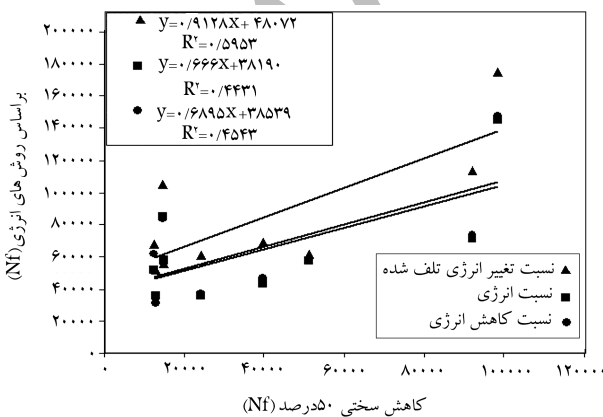
همان‌گونه که در جدول ۳ مشاهده می‌شود، در روش کاهش سختی به میزان ۵۰٪، عمر خستگی به طور متوسط ۴۴۰۰۰ مرتبه بارگذاری کمتر از عمر خستگی مبتنی بر پارامتر نسبت تغییر انرژی تلف شده، ۲۴۰۰۰ مرتبه بارگذاری کمتر از عمر خستگی مبتنی بر پارامتر نسبت انرژی و ۲۶۰۰۰ مرتبه بارگذاری کمتر از عمر خستگی مبتنی بر پارامتر نسبت کاهش انرژی است.

در تمامی نمونه‌ها به غیر از نمونه‌ی شماره ۶، عمر خستگی بی که براساس معیار کاهش سختی به میزان ۵۰٪ بدست آمده است، از عمر خستگی به دست آمده از سایر روش‌ها کمتر است. عمر خستگی تعیین شده براساس پارامتر نسبت تغییر انرژی تلف شده از عمر خستگی سایر روش‌ها (به غیر از نمونه‌ی شماره‌ی ۹) بیشتر است. درصد کاهش سختی آورده شده در جدول ۳ نشان می‌دهد که در سه روش مبتنی بر مفهوم انرژی، عمر خستگی حاصل از این روش‌ها، دارای کاهش سختی بیشتر از ۵۰٪ هستند. البته به غیر از نمونه‌ی شماره‌ی ۶ که عمر خستگی آن بر اساس روش نسبت انرژی، معادل با کاهش سختی به میزان ۳۵٪ و با روش نسبت کاهش انرژی برابر با ۳۶٪ کاهش سختی است.

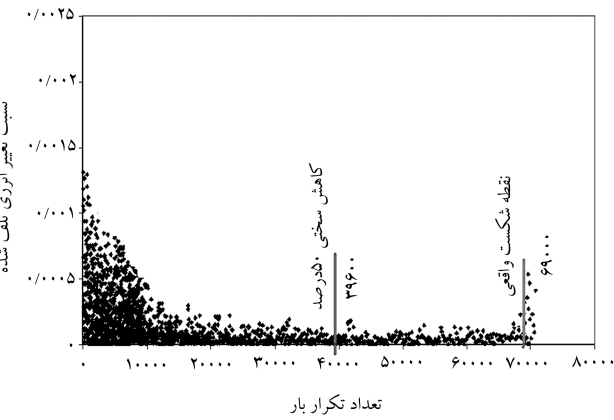
شکل ۶، رابطه‌ی بین عمر خستگی براساس کاهش سختی به میزان ۵۰٪ را با معیارهای مختلف انرژی نشان می‌دهد. علی‌رغم اینکه عمر خستگی به روش نسبت تغییر انرژی تلف شده، بیشترین اختلاف را با عمر خستگی بر مبنای کاهش سختی به میزان ۵۰٪ دارد، لیکن روند تغییرات آن‌ها نسبت به دو روش دیگر، بیشترین تطابق را دارد و نسبت به دو معیار دیگر دارای ضریب همبستگی بیشتری هستند.

شکل ۷، رابطه‌ی بین عمر خستگی براساس نسبت تغییر انرژی تلف شده با نسبت انرژی و نسبت کاهش انرژی را نشان می‌دهد. این شکل نشان می‌دهد که بین این روش‌ها، تطابق نسبی خوبی وجود دارد. شکل ۸، نشان می‌دهد که دو معیار نسبت انرژی و نسبت کاهش انرژی بر یکدیگر منطبق هستند که با توجه به مفاهیم این دو روش، این رفتار کاملاً قابل پیش‌بینی بود.

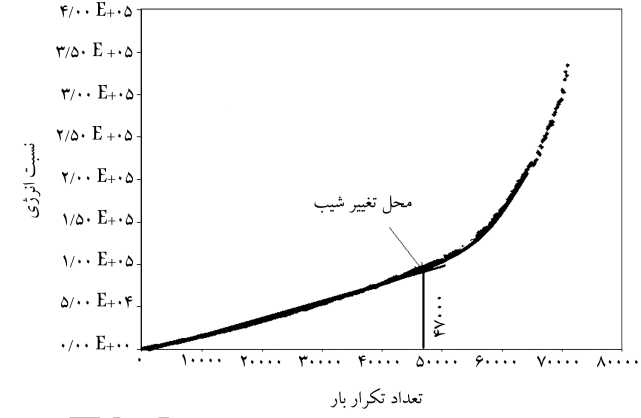
جدول ۴، میانگین درصد کاهش سختی به روش‌های مختلف را نشان می‌دهد. در روش مبتنی بر پارامتر نسبت تغییر انرژی تلف شده، عمر خستگی به طور متوسط برابر



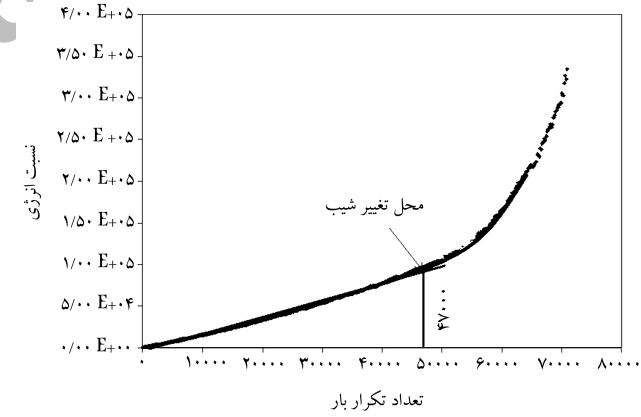
شکل ۶. رابطه‌ی بین عمر خستگی براساس کاهش ۵۰٪ درصدی سختی و نسبت تغییر انرژی تلف شده، نسبت کاهش انرژی و نسبت انرژی.



شکل ۳. منحنی نسبت تغییر انرژی تلف شده بر حسب تعداد تکرار برای نمونه شماره‌ی ۲.



شکل ۴. منحنی نسبت کاهش انرژی بر حسب تعداد تکرار برای نمونه شماره ۲.



شکل ۵. منحنی نسبت انرژی بر حسب تعداد تکرار برای نمونه شماره ۲.

ارائه شده در شکل ۱ است. عمر خستگی با استفاده از معیار نسبت تغییر انرژی تلف شده برای نمونه‌ی ۲ برابر با ۶۹۹۰۰ است. میزان کاهش سختی متناظر با این عمر خستگی برابر با ۷۸٪ است که در جدول ۳ آورده شده است. مقدار سختی و میزان کاهش آن نسبت به سختی اولیه با استفاده از شکل ۲ تعیین شده است. در شکل‌های ۴ و ۵، منحنی‌های «نسبت کاهش انرژی» و «نسبت انرژی» بر حسب تعداد تکرار بار و نحوه تعیین عمر خستگی آورده شده است. مقادیر «نسبت انرژی» و «نسبت کاهش انرژی» با استفاده از رابطه‌های ۱ و ۲ محاسبه شده است. میزان

با این مفروضات باید عمر خستگی در نقطه‌ی شکست واقعی و کاهش $\%50$ سختگی تقریباً برابر و عمر خستگی بر مبنای معیارهای نسبت انرژی و نسبت کاهش انرژی کمتر از آن‌ها باشد. درحالی که این فرض فقط در نتایج آزمایش نمونه‌ی شماره‌ی ۶ صدق می‌کند و در سایر نمونه‌ها، عمر خستگی بر مبنای معیارهای نسبت انرژی و نسبت کاهش انرژی از عمر خستگی بر مبنای کاهش سختی به میزان $\%50$ بیشتر است. همچنین عمر خستگی بر مبنای نسبت تغییر انرژی تلف شده، بیشترین اختلاف را با عمر خستگی بر مبنای کاهش سختی به میزان $\%50$ در مقایسه با سایر معیارهای تعریف شده دارد. این اختلاف‌ها، نشان می‌دهد که معیار کاهش سختی اولیه به میزان $\%50$ ، از منظر رویکرد انرژی، معیار مناسبی برای نشان دادن گسیختگی واقعی نیست.

از طرفی همان‌گونه که در شکل ۲ برای نمونه‌ی شماره ۲ مشاهده می‌شود، عمر خستگی در نقطه‌ی «شکست واقعی» نسبت به سایر روش‌ها با تعداد تکرار بار در هنگام توقف خودکار دستگاه، که نشان دهنده به وجود آمدن ترک و گسیختگی در نمونه است، تفاوت کمتری دارد. این موضوع برای تمامی نمونه‌ها صادق است. بنابراین می‌توان گفت که تعداد تکرار بار به دست آمده از پارامتر «نسبت تغییر انرژی تلف شده» به واقعیت (به وجود آمدن ترک) نزدیک است. همچنین این پارامتر برخلاف معیار کاهش سختی که معیاری قراردادی است، بر پایه‌ی مفهوم انرژی تلف شده تعریف شده است و دارای منطق مناسب‌تری نسبت به مفهوم قراردادی کاهش سختی به میزان $\%50$ است. این معیار می‌تواند مبنای جدیدی در بررسی رفتار خستگی مخلوط‌های آسفالتی در انجام آزمایش به روش کرنش ثابت باشد.

نتایج حاصل نشان می‌دهد که نقطه‌ی شکست به طور متوسط در نمونه‌های آزمایش شده، معادل با $\%65$ کاهش سختی است. در نتیجه کاهش سختی به میزان $\%65$ می‌تواند به منزله‌ی معیار جدیدی برای تعیین عمر خستگی مخلوط‌های آسفالتی استفاده شود.

برای اطمینان از این فرض (کاهش سختی به میزان $\%65$ از آزمون معنی دار) فیشر بر روی اختلاف میانگین‌ها استفاده شد. فرض صفر و فرض خلاف نیز به ترتیب زیر تعریف شدند:

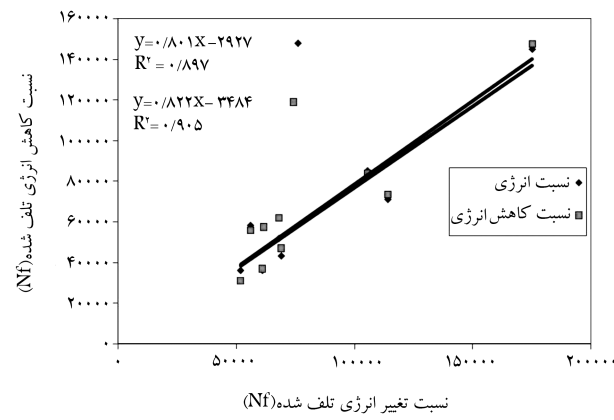
$$\text{فرض صفر: } H_0: \text{میانگین برابر } 65 \text{ است.}$$

$$\text{فرض خلاف: } H_1: \text{میانگین برابر } 65 \text{ نیست.}$$

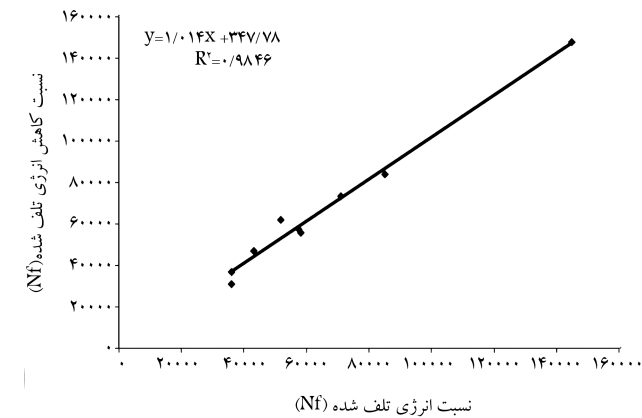
با سطح معنی داری $\alpha = 0.05$ در صورتی که t فیشر محاسبه شده از t بحرانی (به دست آمده از جدول آماری مرتبه) در سطح معنی دار $\alpha = 0.05$ ، کمتر باشد، آنگاه فرض صفر قابل قبول خواهد بود. نتایج محاسبات در جدول ۵ آورده شده است. نتایج مندرج در این جدول نشان می‌دهد که فرض صفر قابل قبول است. به عبارت دیگر مقدار میانگین پارامتر تحمت بررسی در سطح اطمینان موردنظر (95%) برابر با کمیت مندرج در جدول (عنی عدد 65) است. این آزمون آماری نشان می‌دهد که می‌توان عمر خستگی بر مبنای کاهش سختی به میزان $\%65$ را برابر با نقطه‌ی شکست واقعی در نظر گرفت.

جدول ۵. نتایج آزمون t فیشر.

نتیجه	t بحرانی	t محاسبه شده	واریانس (s^2)	متوسط x	سطح معنی دار (α)
	$2,306$	$0,167$	$35,777$	$64,66$	$0,05$



شکل ۷. رابطه‌ی بین عمر خستگی براساس نسبت تغییر انرژی تلف شده، نسبت انرژی و نسبت کاهش انرژی.



شکل ۸. رابطه‌ی بین عمر خستگی براساس نسبت انرژی و نسبت کاهش انرژی.

جدول ۴. میانگین کاهش سختی بر اساس روش‌های مختلف.

معیار	میانگین کاهش سختی	انحراف از معیار
نسبت انرژی	۵۶	۶/۳۵
نسبت کاهش انرژی	۵۶	۱۰/۲۲
نسبت تغییر انرژی تلف شده	۶۵	۹/۱۲

و در دو روش دیگر برابر با $\%56$ کاهش سختی است. اگرچه ممکن است چنین به نظر برسد که این اختلاف 6 الی 15 درصدی در کاهش سختی با کاهش سختی به میزان $\%50$ به دلیل پراکنده‌ی نتایج آزمایش‌های خستگی و دامنه‌ی وسیع ضرایب تبدیل نتایج آزمایش‌گاهی به میانگین، اهمیت چندانی ندارد (عنی معیار کاهش سختی به میزان $\%50$ قابل قبول است)، لیکن با مراجعة به فرضیات بهکار رفته در تعریف معیارهای شکست، ملاحظه می‌شود که مقادیر عمرهای خستگی به دست آمده با این مفروضات در تضاد هستند. عمر خستگی معادل با سختی کاهش یافته به میزان $\%50$ ، به صورت قراردادی به عنوان نقطه‌ی شکست برای نمونه‌ی آسفالتی تعریف شده است، یعنی نمونه قادر به تحمل بار نیست. این تعریف از نظر تئوری با تعریف نقطه‌ی شکست واقعی (روش مبتنی بر نسبت تغییر انرژی تلف شده) مطابقت دارد. درحالی که در دو معیار دیگر (نسبت انرژی و نسبت کاهش انرژی)، فرض بر این است که تعداد تکرار بار منطبق با نقطه‌ی تغییر شیب منحنی‌های مذکور، زمان شروع ترک‌خوردگی در نمونه‌ی آسفالتی است.

نتیجه‌گیری

تلف شده، معیار کاهش سختی به میزان ۵۰٪ نمی‌تواند نشان‌دهنده‌ی بروز ترک در نموده و شکست مخلوط‌های آسفالتی باشد؛

۳. در این نوشتار، درصد کاهش سختی معادل با نقطه‌ی شکست واقعی به عنوان معیار کاهش سختی جدید پیشنهاد شده است. بر اساس آزمایش‌های انجام شده در این پژوهش مقدار آن برابر با کاهش سختی اولیه به میزان ۶۵٪ است.

تقدیر و تشکر

بدین وسیله از آزمایشگاه فنی و مکانیک خاک وزارت راه و ترابری که در تهیه نمونه‌های آزمایشگاهی و انجام قسمتی از آزمایش‌ها همکاری و مساعدت کردند و نیز اداره‌ی کل راه و ترابری استان آذربایجان شرقی که در تهیه نمونه‌های میدانی همکاری کردند، تقدیر و تشکر می‌شود.

پانوشت

1. energy ratio
2. reduced energy ratio
3. rate of dissipated energy change
4. plateau value
5. true failure

منابع

1. Pronk, A.C. and Hopman, P.C. "Energy dissipation: The leading factor of fatigue", Highway Research: Sharing the Benefits, *Proceedings of the conference, the United States strategic highway research program*, London, pp.255-267 (1990).
2. Tayebali, A.A.; Row, G.M. and Sousa, J.B. "Fatigue response of asphalt aggregate mixture", *Journal of The Association of Paving Technologists*, **44**, pp. 1-37 (1975).
3. AASHTO TP8-94 "Method for determining the fatigue life of compacted hot mix asphalt (HMA) subjected to repeated flexural bending", *AASHTO Provisional Standards*, (May 2002).
4. AASHTO T321 "Method for determining the fatigue life of compacted hot mix asphalt (HMA) subjected to repeated flexural bending", *AASHTO Standards*, (Jan 2007).
5. Al-Khateeb, G. and Shenoy, A. "A distinctive fatigue failure criterion", *Journal of the association of asphalt paving technologists*, **46**, pp. 585-621 (2004).
6. Shen, S. and Carpenter, S.H. "Development of an asphalt fatigue model based on energy principles", *Journal of the association of asphalt paving technologists(AAPT)*, **76**, pp. 525-574 (2007).
7. SHRP "A-404, fatigue response of asphalt-aggregate mixes", Strategic highway research program, *National research council*, (1994).
8. Hopman, P.C.; Kunst, P.A.J.C. and Pronk, A.C., "A renewed interpretation method for fatigue measurements, verification of miner's rule", *4th Eorobitume symposium in Madrid*, **1**, pp. 557-561 (October 1989).
9. Rowe, G.M. "Performance of asphalt mixtures in the trapezoidal fatigue test", *Journal of the association of asphalt paving technologists*, **62**, pp. 344-384 (1993).
10. Carpenter, S.H. and Shen,S. "A dissipated energy approach to study HMA healing in fatigue", *In Transportation Research Record (TRR): Journal of the Transportation Research Board*, (1970), TRB, National Research Council, Washington D. C., pp. 178-185 (2006).
11. Carpenter, S.H.; Ghuzlan, K.A. and Shen, Shihui "Fatigue endurance limit for highway and airport pavement". *Transportation Research Record (TRR): Journal of the Transportation Research Board*, (1832), TRB, National Research Council, Washington D.C., pp.131-138 (2003).
12. Daniel. J.S.; Bissiri. W. and Kim, Y.R., "Fatigue evaluation of asphalt mixtures using dissipated energy and viscoelastic continuum damage approaches", *Journal of the Association of Asphalt Paving Technologists*, **46**, pp.557-583 (2004).